

1

Impédance à l'entrée d'un Dipôle Épais

Les dipôles épaiss ont un diamètre d

donné par: $d \geq \lambda / 100$.

Le calcul de Z_e est très compliqué. Les expressions de $Z_e = R_e + jX_e$ doivent être résolues numériquement. Dans ce qui

suit, nous donnons des expressions relativement simple obtenues à l'aide de méthodes approchées.

Approximation des lignes à pertes.

Cette approximation revient à considérer que la répartition de courant le long des Antennes est la même que sur une ligne bifilaire à pertes en circuit ouvert. Z_e est dans ce cas donné par:

$$Z_e = Z_c \coth(\alpha + j\beta)l$$

avec:

$$Z_c = R_c \left(1 - j \frac{\alpha}{\beta}\right). \quad \Rightarrow$$

$$R_e = R_c \frac{\operatorname{sh}(2\alpha l) - (\alpha/\beta) \sin 2\beta l}{\operatorname{ch} 2\alpha l - \cos 2\beta l}$$

$$X_e = -R_c \frac{(\alpha/\beta) \operatorname{sh}(2\alpha l) + \sin 2\beta l}{\operatorname{ch}(2\alpha l) - \cos 2\beta l}$$

Avec:

$$\beta = K = \frac{2\pi}{\lambda}, \quad \alpha = \frac{(KL)^2}{2lH}, \quad H = 2\sqrt{\ln\left(\frac{el}{a}\right)}$$

$$R_c = 60 \Omega$$

2

Dans le cas où $\frac{l}{\lambda} \ll H/\pi$, Z_e est donnée par :

$$R = \approx 60(BL)^2 \frac{1 - \frac{\sin l BL}{l BL}}{1 - \cos(l BL)}$$

$$X_e = -60H \operatorname{cosec} BL$$

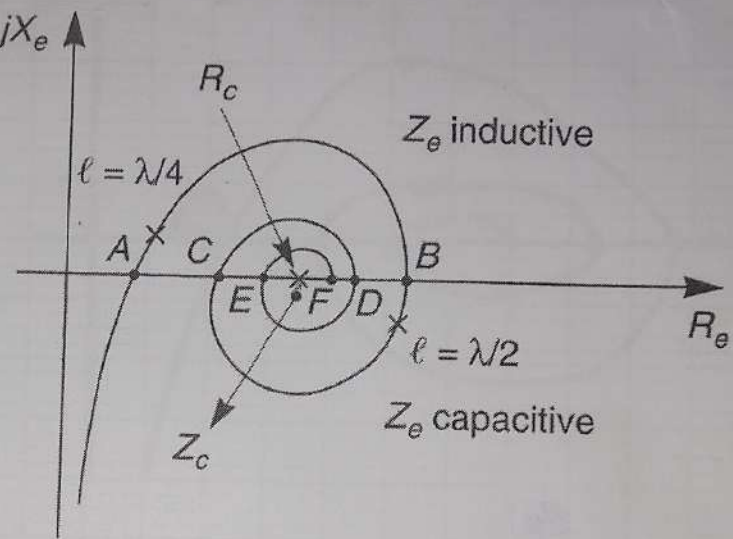


Figure : Variation de l'impédance Z_e d'un dipôle épais en fonction de sa longueur l dans le plan complexe.

La courbe obtenue est une courbe en spirale qui $\rightarrow Z_c$ lorsque $l \rightarrow \infty$.
 $Z_e \rightarrow 0 - j\infty$ quand $l \rightarrow 0$.
 Cette courbe coupe l'axe des réels en des points A, C, E pour les valeurs de l un peu < à $\lambda/4, 3\lambda/4, 5\lambda/4$ (Re croissante)
 Elle coupe l'axe des réels aussi en B, D, F obtenus pour l un peu < $\lambda/2, 2\lambda/2, 3\lambda/2$ (Re décroissante).

La valeur limite commune à tous ces points est la partie réelle de l'impédance caractéristique R_c .

3) Formule de R.A. Smith.

Valables pour des dipôles $\lambda/2$ isolés dans l'espace.

Z_e est donnée par :

$$Z_e = \frac{73,2 - 5400}{R_c} + j \left(40,5 - \frac{9700}{R_c} \right)$$

$$R_c = 120 \left[\ln \left(\frac{\lambda}{d} \right) - 1 \right]$$

pour λ un peu plus petite que $\lambda/2$, Z_e devient réelle.

La longueur dite de résonnance, se trouve ses deux tiges est :

$$l = \frac{\lambda}{4} \left(1 - \frac{27}{R_c} + \frac{2300}{R_c^2} \right).$$

En dehors de la résonnance, il y a apparition d'une réactance X_e donnée par :

$$X_e = R_c \left(1 - \frac{100}{R_c} \right) \text{ et } \frac{\Delta l}{l} \text{ si :}$$

l varie de Δl .

$$X_e = R_c \left(1 - \frac{100}{R_c} \right) \pi \frac{\Delta l}{\lambda} \text{ si :}$$

d varie de Δd

Impédance Z_e d'un dipôle Fina

Dans ce cas ($d \leq \lambda/1000$), le formule de Z_e sont plus difficiles à exploiter. King a fourni un ensemble de courbes fournissant Z_e en fonction de l .

4) Formules de Ze.

Les formules ont été calculées par la méthode de la force électromotrice induite.

Re et Xe sont données comme suit :

$$R_e = \frac{60}{\sin^2 x} \left\{ \sin 2x \left[Si(2x) - \frac{1}{2} Si(4x) \right] \times \right. \\ \left. \times (1 + \cos 2x) (\ln(2x) - Ci(2x)) \right. \\ \left. - \frac{\cos x}{2} (\ln(4x) - Ci(4x)) \right\}$$

Si est le sinus intégral, Ci est le cos intégral

$$X_e = \frac{30}{\sin^2 x} \left\{ 2 Si(2x) + [2 Si(2x) - Si(4x)] \cos 2x \right. \\ \left. - \left[\ln \frac{\pi \cdot 10^6 l}{2x} - 2,414 - Ci(4x) + 2 Ci(2x) \right] x \right. \\ \left. \times \sin(2x) \right\}$$

Avec : $Si(u) = \int_0^u \frac{\sin y}{y} dy$

~~Ci(u)~~ $Ci(u) = \int_u^{+\infty} \frac{\cos y}{y} dy$

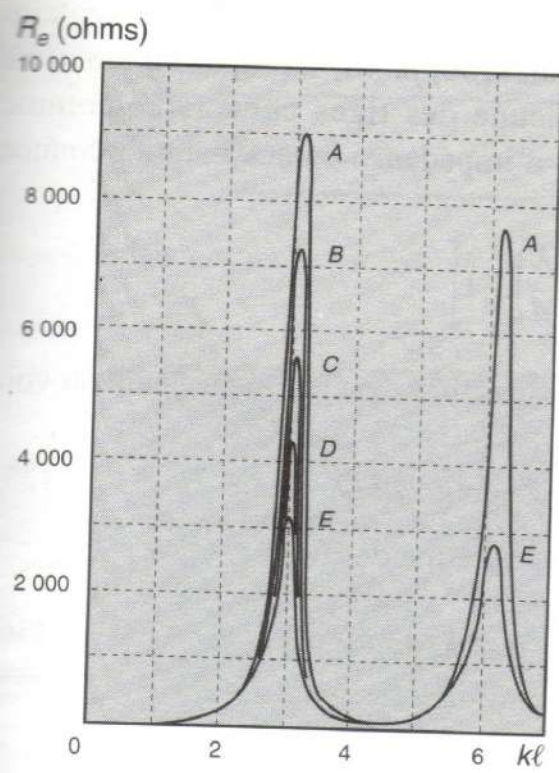
$$x = \frac{2\pi l}{\lambda}$$

$$\ln y = 0.5772$$

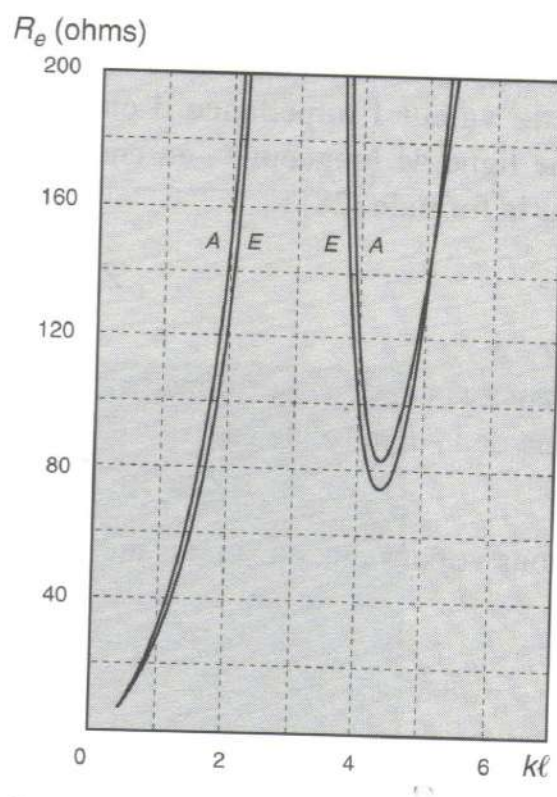
Courbes de King

Les courbes donnent les variations de l'impédance $Z_e = R_e + j X_e$ à l'inducteur en fonction de $KL = 2\pi l/\lambda$ pour 5 valeurs du paramètre α/λ .

Voir la figure suivante.



a)



b)

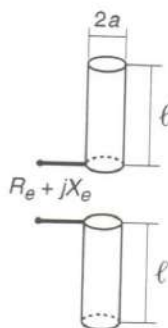


Figure
a. Courbes donnant les variations de la résistance d'entrée d'un dipôle fin en fonction de ses paramètres géométriques.
b. agrandissement partiel.
D'après Eyraud *et al.* [51, p. 50].

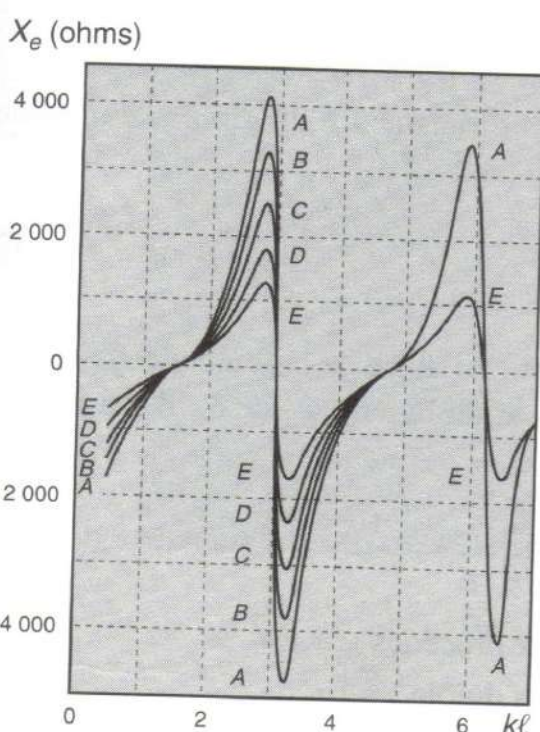
$$A = \frac{a}{\lambda} = 10^{-5};$$

$$B = \frac{a}{\lambda} = 3 \cdot 10^{-5};$$

$$C = \frac{a}{\lambda} = 10^{-4};$$

$$D = \frac{a}{\lambda} = 3 \cdot 10^{-4};$$

$$E = \frac{a}{\lambda} = 10^{-3}.$$



X_e (ohms)

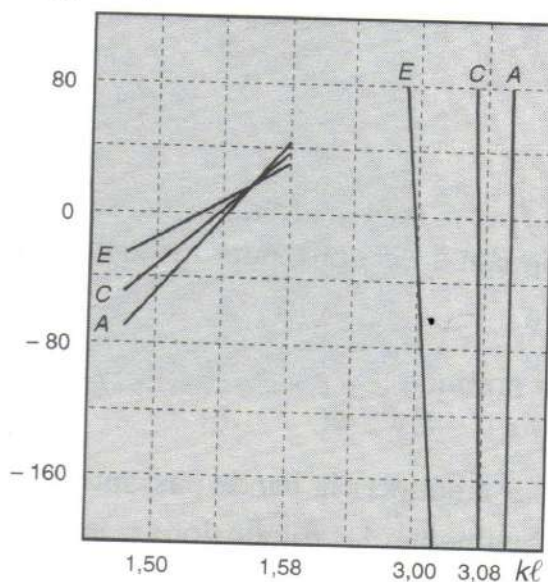


Figure
a. Courbes donnant les variations de la réactance d'entrée d'un dipôle fin en fonction de ses paramètres géométriques.
b. agrandissement partiel.
D'après Eyraud *et al.* [51, p. 51].

5

Cas du dipôle $\frac{N}{2}$.

Dans ce cas, Z_e n'est pas réelle. Elle est donnée par :

$$Z_e = 73,2 + j42,5 \Omega.$$

(Pour un dipôle infiniment fin). Pour tenir compte du diamètre fini des tiges, on ajoute à Z_e , Z_c donnée par :

$$Z_c = 120 \left[\ln \left(\frac{d}{\delta} \right) - 1 \right].$$

Dans ces conditions, Z_e est donnée par :

$$Z_e = 73,2 + j42,5 - jZ_c \operatorname{ctg}(\ell \pi L/\lambda).$$

Pour une longueur ℓ_0 , (le chearre de tiges) donnée par :

$$\ell_0 = \frac{d}{2\pi} \operatorname{artg} \frac{Z_c}{42,5} \ll \frac{\lambda}{4},$$

nous avons : $Z_e = 73,2 \Omega$ (réelle).